

Modèles de graphes réguliers | aléatoires (2)  
surfaces hyperboliques

Graphes d-réguliers aléatoires à N sommets ( $N \rightarrow \infty$ )

$\rightarrow \mathcal{G}_{N,d}$  modèle de permutations (d pair) (Friedman)

$\rightarrow \mathcal{P}_{N,d}$  modèle de configuration (Bollobas)

- $\mu_2 < d$  première valeur propre non triviale

$$2\sqrt{d-1} - O\left(\frac{1}{(\log N)^2}\right) \leq \mu_2 \leq 2\sqrt{d-1} + E$$

Alon-Boppana

Friedman

avec  $P \xrightarrow[N \rightarrow \infty]{} 1$  (Friedman)

$h(G_N)$  constante de Cheeger

$$\lambda^*(d) + o(1) \leq h(G_N) \leq \frac{d}{2} + O\left(\frac{1}{N}\right)$$

avec  $P \xrightarrow[N \rightarrow \infty]{} 1$

(Bollobas)

toujours

- Diamètre : dans l'arbre (infini)  $d$ -régulier

$$\#B(x_0, R) = 1 + d + d(d-1) + \dots + d(d-1)^{R-1}$$

$$= 1 + \frac{d(d-1)^R - 1}{d-2}.$$

Csq: pour un graphe  $d$ -régulier à  $N$  sommets,

$$1 + \frac{d(d-1)^D - 1}{d-2} \geq N \quad \text{où } D \text{ diamètre du graphe}$$

Donc  $D \geq \log_{d-1} N + o(d)$ .

Bollobas - De La Vega 1982: pour les graphes aléatoires, avec  $\mathbb{P} \rightarrow 1$ ,  $\underset{N \rightarrow \infty}{\lim} \text{diam}(G_N) = \log_{d-1} N + \log_{d-1}(\log N) + O(1)$ .

- Lien entre trou spectral et diamètre

Proposition:  $\text{diam}(G_N) \leq \frac{\log N}{\log\left(\frac{d}{\mu_2}\right)}$ .

Preuve: A matrice d'adjacence. Pour toutes fonctions  $f, g: V(G_N) \rightarrow \mathbb{C}$  orthogonales aux fonctions constantes pour  $\langle f, g \rangle = \frac{1}{N} \sum_{x \in V} \bar{f(x)} g(x)$ ,

$$\text{alors } \left| \left\langle \left(\frac{A}{d}\right)^n f_0, g_0 \right\rangle \right| \leq \left(\frac{\mu_2}{d}\right)^n \|f_0\| \|g_0\|$$

$f, g$  quelconques : on pose  $f_0 = f - \langle f \rangle$ ,  $g_0 = g - \langle g \rangle$

$$\text{où } \langle f \rangle = \frac{1}{N} \sum_{x \in V} f(x). \text{ Alors on a}$$

$$\left| \left\langle \left(\frac{A}{d}\right)^n f, g \right\rangle - \langle f \rangle \langle g \rangle \right| \leq \left(\frac{\mu_2}{d}\right)^n \|f\| \|g\|$$

$x, y$  2 sommets tq  $\text{dist}(x, y) = \text{diam}(G_N)$ , on pose  $f = \delta_x^D$ ,  $g = \delta_y^D$ ,  $n = D-1$ .

$$\text{On a } \left\langle \left(\frac{A}{d}\right)^{D-1} \delta_x, \delta_y \right\rangle = 0. \text{ De plus,}$$

$$\langle \delta_x \rangle = \frac{1}{N}, \quad \|\delta_x\| = \frac{1}{N}, \quad \text{donc } \frac{1}{N^2} \leq \frac{1}{N} \left(\frac{\mu_2}{d}\right)^{D-1} \quad \square$$

- Systole (longueur de la plus petite géodésique fermée) :

On définit le rayon d'injectivité

$$r_{\text{inj}}(x) = \sup \{ R \mid \text{tq } B_{G_N}(x, R) \text{ suit un arbre} \}.$$

Pour tout  $x$ ,  $\text{Pinj}(x) \leq \log_{d-1}(n) + \tilde{c}(d)$

On en déduit  $\text{systole}(G_N) \leq 2 \log_{d-1}(N) + \tilde{c}(d)$

Erdős-Sacks: construction déterministe de graphes avec  
 $\text{systole}(G_N) \geq \log_{d-1}(N) + O(1)$

Lubotzky-Phillips-Sarnak:  $\text{syst}(G_N) \geq \frac{4}{3} \log_{d-1}(N) + O(1)$ .

Remarque: les graphes aléatoires ont une petite systole.

Théorème (Bollobas) pour le modèle de configuration,  
étant donné  $\ell \geq 2$ ,  $\gamma_\ell \xrightarrow{\text{loi}} P(\lambda_\ell)$ , où

$\gamma_\ell$  = nombre de géodésiques fermées de longueur  $\ell$

$$\lambda_\ell = \frac{(d-1)^\ell}{\varepsilon \ell}$$

Autrement dit,  $\forall k$ ,  $\lim_{N \rightarrow \infty} \mathbb{P}(\gamma_\ell = k) \rightarrow e^{-\lambda_\ell} \frac{\lambda_\ell^k}{k!}$

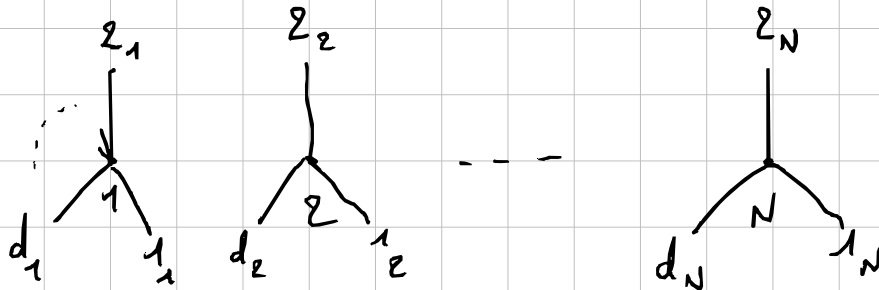
Preuve: méthode des moments factoriels. Pour m entier

$$\mathbb{E}_N[Y_l(Y_{l-1}) \cdots (Y_{l-m+1})] \text{ moment factoriel d'ordre } m.$$

On va montrer que ce moment converge vers  $\lambda_l^m$   
(moment factoriel de la loi de Poisson).

En particulier,  $\mathbb{E}_N(Y_l) \xrightarrow[N \rightarrow \infty]{} \lambda_l$ .

Rappel sur le modèle de config.



Appariement "parfait" des demi-arêtes ; deux à deux.  
Soit  $v \leq N$ . On appelle sous-configuration  $H$  avec  $e$  arêtes sur les sommets numérotés  $\{1, \dots, v\}$  (à donnée d'un appariement partiel de  $2e$  demi-arêtes). De manière équivalente, on a un graphe  $H$  de sommets  $\{1, \dots, v\}$  avec  $e$  arêtes, et des "étiquettes" qui indiquent de quelle demi-arêtes elles proviennent.

Si  $(x_1, \dots, x_v)$  r-uplet de sommets distincts de  $\{1, \dots, N\}$ , on note  $\bar{H}(x_1, \dots, x_v)$  la même configuration sur les sommets  $\{x_1, \dots, x_v\}$ .

$\mathbb{E}_N$  (nb de configurations du modèle  $P_{N,d}$  isomorphes à  $\bar{H}$ )

$$= \sum_{\substack{(x_1, \dots, x_v) \\ \text{2 à 2 distincts}}} \underbrace{P_N}_{\substack{\text{IP}_N \\ \text{(}\bar{H}(x_1, \dots, x_v)\text{ est réalisée)}}}.$$

$$= \frac{(Nd - 2e - 1)!!}{(Nd - 1)!!}$$

Donc  $\mathbb{E}[ \dots ] = N(N-1) \dots (N-v+1) \frac{(Nd - 2e - 1)!!}{(Nd - 1)!!}$

$$\underset{N \rightarrow \infty}{\sim} \frac{1}{d^e} N^{v-e}$$

Où  $v-e = 1 - b(H)$  invariant topologique du graphe,

où  $b(H) = \text{rang cyclique du graphe } H$   
 $= \text{nb minimum d'arêtes à retirer pour obtenir un arbre.}$

\* si  $H$  connexe

$E_N$  (nb de sous-graphes isomorphes à  $H$  (en oubliant les numérotations))

$$= \frac{1}{\#\text{automorphismes de } H} \sum_{\substack{\text{(toutes les} \\ \text{sous-config. qui} \\ \text{donnent le même graphe)}}} N(N-1) \cdots (N-v+1) \frac{(Nd-2e-1)!!}{(Nd-1)!!}$$

A retenir: si  $b(H) \geq 2$ , et  $H$  connexe

$$\mathbb{E} [\text{nb de sous-graphes } \sim H] \xrightarrow[N \rightarrow \infty]{} 0$$

avec une vitesse en  $\frac{1}{N^{b(H)-1}}$

(conséquence: (à  $\ell$  fixé),

$E_N$  (nb de géodésiques fermées de longueur  $\ell$ )

$$= \mathbb{E} [\text{nb de géod. simples fermées de longueur } \ell] + O\left(\frac{1}{N}\right)$$

$$= \frac{1}{2\ell} \left(d(d-1)\right)^{\ell} \frac{1}{d^{\ell}} N^{\overbrace{v-\ell}^{\circ}} = \frac{(d-1)^{\ell}}{2\ell} .$$

nb d'étiquettes possibles pour les demi-arêtes

Calculs analogues pour les moments factoriels supérieurs.

$\gamma_l (\gamma_{l-1}) \cdots (\gamma_{l-m+1}) = \text{nb de } m\text{-uplets } (\gamma_1, \dots, \gamma_m)$   
 où  $\gamma_i$  géodésique fermée de longueur  $l$ .

$$\mathbb{E}_n [\gamma_l (\gamma_{l-1}) \cdots (\gamma_{l-m+1})]$$

=  $\mathbb{E}_n [\text{nb de } m\text{-uplets } (\gamma_1, \dots, \gamma_m) \text{ de géodésiques simples qui ne se croisent pas entre elles}] + O(\frac{1}{n})$

$$\xrightarrow[N \rightarrow \infty]{} \left( \frac{(d-1)^l}{2l} \right)^m = \lambda_l^m. \quad \square$$

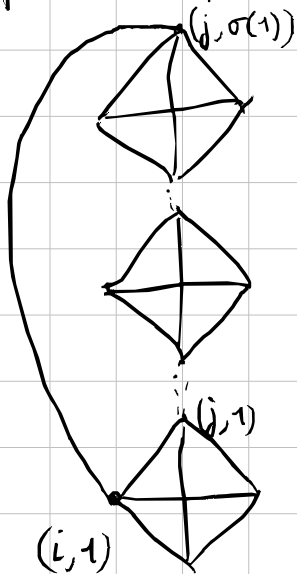
Par les mêmes techniques, pour  $l_1 < l_2 < \dots < l_r$ ,

$$(\gamma_{l_1}, \dots, \gamma_{l_r}) \xrightarrow[N \rightarrow \infty]{\text{loi}} P_{\lambda_{l_1}} \otimes \cdots \otimes P_{\lambda_{l_r}}, \text{ où } P_\lambda \text{ loi de Poisson de paramètre } \lambda.$$

On peut donc conditionner par rapport à  $\gamma_1 = 0, \gamma_2 = 0$  (par exemple).

## Modèle de revêtement aléatoire (de graphe)

$G$  graphe fini. On fait  $N$  copies de  $G$



Pour chaque arête on tire au hasard un élément de  $\tilde{G}_N$ .

$G$ , valeurs propres  $\lambda_1^{\text{old}}, \dots, \lambda_{|V|}^{\text{old}}$

Thm (Bordenave - Collins) Soit  $\varepsilon > 0$ .

$$\mathbb{P}_N \left( \text{dist}(\lambda_j^{\text{new}}, \sigma(\tilde{G})) \leq \varepsilon \right) \xrightarrow[N \rightarrow \infty]{} 1$$

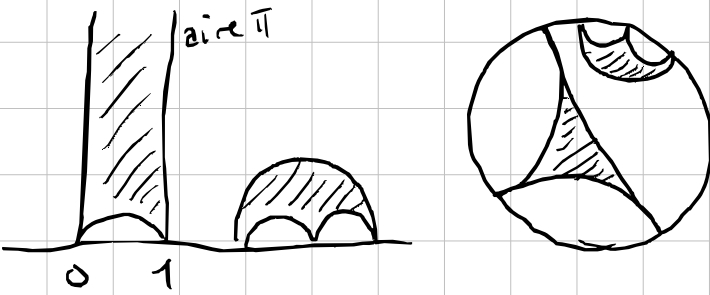
Où  $\tilde{G}$  revêtement universel de  $G$ . Ex: si  $G$  est  $d$ -régulier,  $\tilde{G}$  est  $d$ -régulier aussi, et  $\sigma(\tilde{G}) = [-\sqrt{d-1}, \sqrt{d-1}]$

## Surfaces hyperboliques aléatoires

### 1) Modèle de Brooks-Makover (2004)

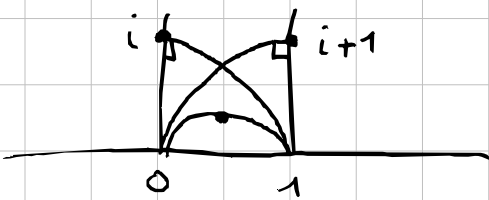
→ Modèle calqué sur les graphes 3-réguliers aléatoires.

triangle hyperbolique idéal: triangle entre 3 points de  $\partial\mathbb{H}$



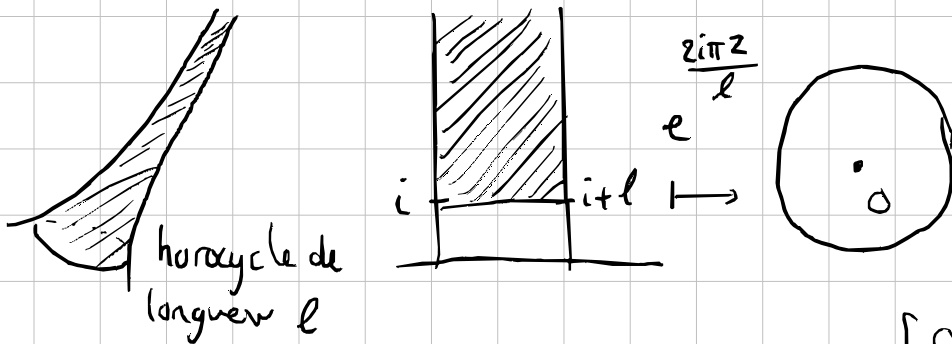
→  $N$  triangles idéaux (orientés),  $N$  pair.

On recolle les bords au hasard de manière compatible avec l'orientation, et en faisant coïncider les bases des hauteurs (les points marqués ci-dessous en exemple)



On obtient une surface hyperbolique  $S^o$  d'aire  $\pi$ , non compacte, avec des cusps.

Si on veut des surfaces compactes, on procède comme suit : au voisinage d'un cusp on introduit de nouvelles cartes qui "compactifient" le cusp, et on garde les cartes d'origine en-dehors des cusps. On obtient  $S^c$  surface de Riemann compacte avec des points  $p_1, -p_k$  et  $S^c \setminus \{p_1, -p_k\}$  est dans la même classe conforme que  $S^o$



$S^c$  possède une unique métrique de courbure  $k = \begin{cases} 0 & \text{si tore} \\ 1 & \text{si sphère} \\ -1 & \text{si } g \geq 2 \end{cases}$

Théorème (Brooks-Makover) avec  $P \rightarrow 1$ ,

$S^c$  est connexe de genre  $\sim \frac{N}{2}$ ,  $N \rightarrow \infty$

donc porte une métrique hyperbolique.

On peut montrer aussi l'existence de  $C_1, C_2 > 0$  tq

$$\lim_{N \rightarrow \infty} P(h(S^c) \geq C_1) \rightarrow 1$$

$$\lim_{N \rightarrow \infty} P(\text{systole}(S^c) \geq C_2) \rightarrow 1$$

Notez ici,  $h(M) = \inf_{\substack{M = A \sqcup B \\ \text{partition à bord lisse}}} \frac{\text{Vol}_{n-1}(\partial A)}{\min(\text{Vol}_n(A), \text{Vol}_n(B))}$  pour  $M$  variété de dim  $n$ .

Inégalité de Cheeger-Buser :  $\lambda_1 > 0$  1<sup>re</sup> valeur propre non triviale de  $-\Delta$ .

$$\frac{h^2}{4} \leq \lambda_1 \leq 2a(n-1)h + 10h^2, \text{ où}$$

$\uparrow \quad \uparrow \quad \uparrow$   
 Cheeger      Buser      Courbure

Lien entre diamètre et trou spectral (version pour les surfaces hyperboliques) - version de Michael Magee

$$\lambda_1 = \frac{1-\delta^2}{4}, \quad \rho_{\text{inj}} \geq c.$$

$$\text{diam}(S) \leq \frac{2}{1-\delta} \log \text{Vol}(S) + \frac{4}{1-\delta} \log \log \text{Vol}(S) \\ + \frac{4}{1-\delta} \left( O(\log c) + O(1) \right)$$

Borne de Huber (cf. Alon-Boppana-Friedman pour les graphes)

$$\lambda_1 \leq \frac{1}{4} + O\left(\frac{1}{(\log g)^2}\right)$$

$$\text{Cheeger} \Rightarrow h(S) \leq 1 + O\left(\frac{1}{(\log g)^2}\right)$$

Budzinski-Curien-Petri:  $\forall S$  hyperbolique en tirant "au hasard" une partition  $S = A \sqcup B$ ,

$$h(S) \leq \frac{2}{\pi} + o(1) \quad .$$

Théorème (Petri): soit  $a < b$ .

$Y_{[a,b]} = \# \text{ géodesiques fermées de longueurs } \in [a,b]$

$$Y_{[a,b]} \xrightarrow{\text{(o)}} P_v \quad \text{où } v = v([a,b]) \quad , v \text{ mesure explicite} \\ (\text{atomique})$$

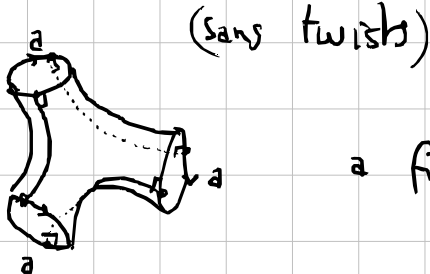
$$\text{en particulier, } \forall k, \quad P(Y_{[a,b]} = k) \xrightarrow[N \rightarrow \infty]{} e^{-v} \frac{v^k}{k!}$$

Diamètre  $S$  de genre  $g$ , Aire =  $4\pi(g-1)$

$$\text{diam}(S^g) \geq \log \text{Aire}(S) + O(1) \text{ " borne triviale "}$$

Thm (Budzinski - Curien - Petri) Pour le modèle de  
Brooks-Makover,  $\text{diam}(S) \sim 2 \log \text{Aire}(S)$ .

Un autre modèle de surfaces aléatoires aussi fondé sur les graphes 3-réguliers et qui optimise le diamètre est donné par un recollage aléatoire de pentalots hyperboliques



$a$  fixé (et grand)

Dans ce cas, avec grande proba quand  $N \rightarrow \infty$ ,  
 $\text{diam}(S) \leq (1 + \varepsilon(a)) \log(\text{Aire}(S))$

Généralisation (Jaffrey Mathieu):  $a$  est pris aléatoirement et on ajoute des twists aléatoires.